

# RILIEVI FOTONICI - VIBRAZIONALI – ENERGIA DEGLI ALIMENTI

*DANIELE GULLA' - C.T.A. (Consulente Tecnico Ambientale)*

## PREMESSA

Da molti anni ormai si sente parlare di “energie” o “bioenergie” non convenzionali. Vengono quindi utilizzate terminologie alternative, spesso improprie per definire queste tipologie di campo non ben definito come ad esempio, l’energia Odica, l’energia Orgonica, l’energia di Punto zero, l’energia Magnetica, Raggi N, il QI, ecc. Forse uno dei termini più appropriati che le racchiude tutte senza darne una definizione specifica, visto che ancora è di fatto per lo più sconosciuta, è il termine utilizzato dal [Dr. Zamperini](#) che le ha meglio definite come: “[Energie Sottili](#)”. Energie “sottili” che in questo lavoro prodromico, sono state misurate non sull’uomo ma sugli alimenti e sull’interazione *alimento-uomo*.

Lo scopo di questo lavoro è quello di tipizzare, classificare, differenziare, l’alimento industriale da quello artigianale per la sua composizione, e valutarne gli effetti psicofisiologici sulla salute umana.

Di queste “[energie sottili](#)” o “energie di campo” come personalmente le definisco, ancora si conosce ben poco, ma si inizia ad intravederne gli effetti pur disconoscendo le cause precise che le creano. Cercare di misurarne gli effetti sull’uomo e gli altri esseri, animali o vegetali ed in tutta la materia biologica e sull’ambiente è indispensabile per comprenderne i principi di funzionamento. Ogni composto atomico e molecolare in natura, emette energia e vibrazioni energetiche sopra lo “0” termico assoluto. Valutarne caratteristiche intrinseche al prodotto, potrebbe essere molto utile per tipizzare la profusione, la provenienza e la freschezza del composto.

Per tentare questo approccio sperimentale abbiamo utilizzato sistemi tecnologici molto avanzati per registrare e visualizzare *vibrazioni energetiche ed energie fotoniche ultradeboli in modalità multi spettrale, ovvero oltre la gamma di frequenze della luce visibile*.

I dati raccolti sono stati trattati secondo modalità comunemente utilizzate in ambito scientifico universitario dall’aquisizione all’elaborazione delle informazioni con algoritmi specifici di analisi utilizzate in molte discipline scientifiche e soprattutto in ambito biochimico e medicale.

La branca della scienza che studia e raccoglie informazioni dalle immagini acquisite è definita come sezione di “Bioimaging”, tecnologie di *Image Processing* che hanno portato a costituire veri e propri laboratori nel mondo dedicati. Una definizione di tali sezioni di analisi è descritta successivamente prendendo come esempio l’università di Yale.

I dati che sono stati raccolti ed illustrati rappresentano solo lo stadio preliminare della ricerca nel settore delle bioimmagini, essendo la prima volta che si registrano dati utili in questo campo. In questa fase della ricerca ci si è preoccupati di raccogliere soprattutto dati “sicuri”, con apparecchiature scientifiche certificate, in modo che gli stessi non possano essere alterati in nessun modo dagli operatori.



### **Divisione di Scienze Bioimmagini Università Yale**

All'interno del Dipartimento di Radiologia Diagnostica, la Divisione di Scienze bioimmagini è stato stabilito di concentrarsi sulla ricerca e didattica nel campo della metodologia di bioimmagini. Facoltà Ladder base alla scissione specifiche aree di messa a fuoco che si concentrano su analisi di immagine matematica, la fisica e l'imaging la biofisica / biochimica dell'interazione dei tessuti viventi con sensori di immagini.

### **Explorations in Ricerca**

La disciplina di bioimmagini sta assumendo nuove dimensioni come gli scienziati a sviluppare nuovi sensori per esplorare la struttura e la funzione biologica, e visualizzare / analizzare queste informazioni in tre e quattro dimensioni. Bioimmagini ricerca sta rapidamente diventando integrativo in natura, sia in termini di tipo di sensore (ad esempio, NMR, raggi X, UV e IR, luce visibile per tutto, dalla microscopia a tomografia a coerenza ottica, ultrasuoni, ecc), scala (molecolare al cellulare per organo ), e la gamma di applicazioni, dalla cristallografia molecolare all'imaging i correlati neuronali della mente.

### **Image Processing and Analysis**

1. Computer Vision e specialisti di elaborazione delle immagini con un interesse, ma limitata conoscenza dettagliata, imaging medicale e le sue applicazioni.
2. Fisici medici di imaging che ha capito i principi di acquisizione delle immagini e di formazione, ma che in genere non hanno avuto la matematica specifici applicata, informatica, o di segnale e di elaborazione delle immagini di sfondo a contribuire nelle aree di sviluppo algoritmo.

Ci si sforza di avanzare lo sviluppo di nuove elaborazioni delle immagini e metodologie di analisi con la conoscenza della fisica di acquisizione delle immagini, anatomia e fisiologia, con la clinica e questioni scientifiche.

# TECNOLOGIA UTILIZZATA PER I RILIEVI ENERGETICO - VIBRAZIONALI

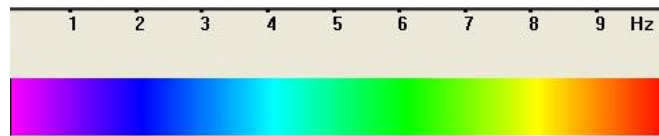
Il principio alla base dell'Analizzatore d'Immagine è che tutto vibra, in modo visivamente per noi impercettibile, ma strumentalmente misurabile. L'Analizzatore d'Immagine viene usato per monitorare le vibrazioni emesse, in stati normali o modificati di coscienza, dal cosiddetto Campo Energetico Umano (Human Energetic Field – HEF). Sullo schermo del PC un riquadro mostra l'immagine del soggetto con il suo spettro a falsi colori. Poi si vede il grafico corrispondente allo stato di partenza. In seguito il software segnala, attraverso la variazione dei colori dell'immagine, un passaggio ad uno stato modificato di coscienza, arrivando certe volte fino alla totale scomparsa dell'immagine stessa o al suo viraggio verso un'unica tonalità di colore. La variazione dall'immagine iniziale multicolore a quella monocolora indica che le vibrazioni sono passate da un ampio spettro di frequenze ad uno spettro ristretto, indicando una situazione di coerenza. In un altro riquadro un grafico mostra che lo spettro, inizialmente ampio, si restringe spostandosi a sinistra, verso le frequenze più basse. Concludendo, si può dire che lo spettro di frequenza rilevato cambia totalmente quando si entra in uno stato modificato di coscienza. Tutti i parametri vengono analizzati e memorizzati istante per istante dal software della telecamera. Alla fine della sperimentazione si può disporre dei "report" relativi allo spettro delle vibrazioni, per dimostrare il grado di profondità dello stato meditativo e le fluttuazioni dell'intensità delle vibrazioni emesse. Nelle immagini si nota una distribuzione orizzontale di righe colorate intorno agli oggetti vibranti (le righe rappresentano le singole frequenze ottenute applicando la FFT). Esse rappresentano, orizzontalmente, la distribuzione spettrale delle vibrazioni in una banda compresa tra 0,1 e 10 Hz secondo una scala in pseudo colori (mostrata sotto) che va dal viola al rosso. Le vibrazioni generate dal corpo umano normalmente variano in continuazione nei vari punti del corpo stesso sia in ampiezza sia in frequenza, anche in modo rapido. Sullo schermo del PC un ampio riquadro mostra l'immagine della persona e attorno ad essa appaiono righe orizzontali di vari colori e lunghezze che rappresentano il risultato della FFT applicata alle vibrazioni rilevate. La frequenza delle vibrazioni viene visualizzata per mezzo del colore della riga stessa, secondo la scala di colore mostrata nell'immagine successiva. Un altro riquadro, in basso a sinistra sullo schermo del PC, mostra in tre grafici le caratteristiche spettrali.

- Gli studi dello stato funzionale del corpo umano sono stati diretti verso il riconoscimento dello stato emotivo. Gli algoritmi di determinazione dello stato emotivo si basano su un apparato di statistica matematica, sui principi di coordinamento del movimento, sulla logica della psicologia comportamentale e su prove comparative.
- Analisi spettrale di segnali di telecamera ad alta velocità (analisi di differenza - frame utilizzando fotogrammi adiacenti) dimostrano anche caratteristiche mentali e fisiologiche del paziente. Lo spettro (ampiezza e frequenza) viene misurato utilizzando in tempo reale la Fast Fourier Transform (FFT).

L'ampiezza della componente di bassa frequenza dello spettro di vibrazione per un paziente in normale stato mentale e fisiologico è diverse volte superiore a quella di un paziente in stato di allarme aggressivo o in stato patologico.

Il sistema è stato sviluppato militarmente ed è parte integrante del progetto governativo degli Stati Uniti d'America che si chiama F.A.S.T. (Future Attribute Screening Technology).

## SPIEGAZIONI TECNICHE PER FACILITARE LA LETTURA DELLE IMMAGINI VIBRAZIONALI



Immagini convertite in scala a pseudo colori in relazione alla frequenza in HZ

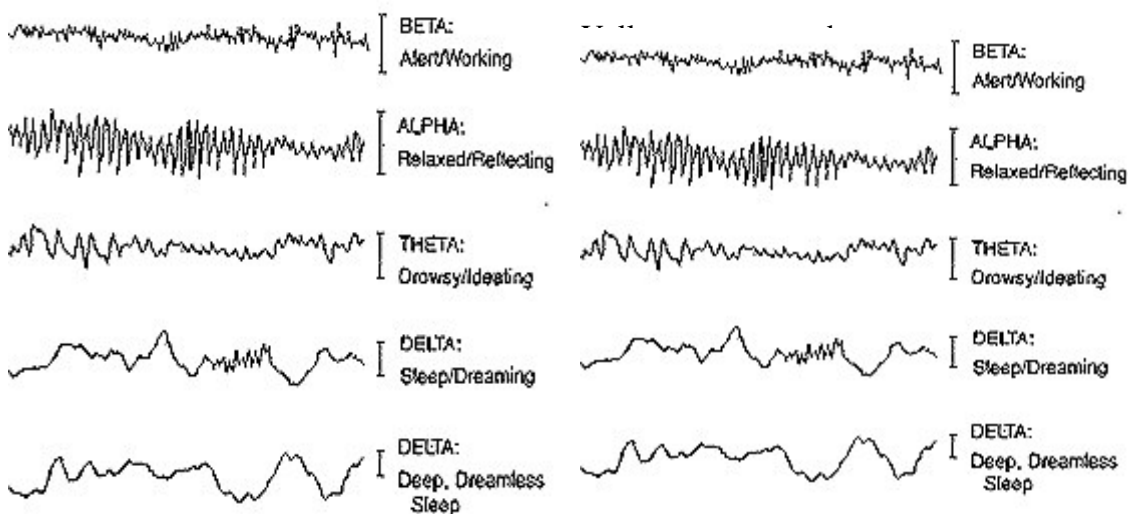
Nelle immagini si nota una distribuzione orizzontale di righe colorate intorno agli oggetti vibranti (le righe rappresentano le singole frequenze ottenute con una FFT). Esse rappresentano in modo radiale orizzontalmente, la distribuzione spettrale delle vibrazioni in un range compreso tra 0,1 Hz e 10 Hz secondo una scala in pseudo colori (come mostrata sopra) che va dal viola al rosso. La suddivisione della frequenza vibratoria in corrispondenza del colore è all'incirca questa:

- Viola = 0,1 – 1 Hz
- Blu = 1 – 3 Hz
- Azzurro = 4 Hz
- Verde = 5 – 7 Hz
- Giallo = 8 Hz
- Arancione = 8,5 – 9 Hz
- Rosso = 9 – 10 Hz

Una scala più precisa in relazione alle attività cerebrali dell'uomo è la seguente:

### **Physiological State Brain Waves, HzBody TRV, Hz Body Vibrations, related units**

Sleep/Exhausted	1.5 - 5 (Delta)	0.3 - 1.0	15 - 51
Drowsy/Tired	5 - 9 (Theta)	1.0 - 1.8	51 - 92
Relaxed	9 - 15 (Alpha)	1.8 - 3.0	92 - 153
Excited/Working	15 - 40 (Beta)	3.0 - 8.0	153 - 408



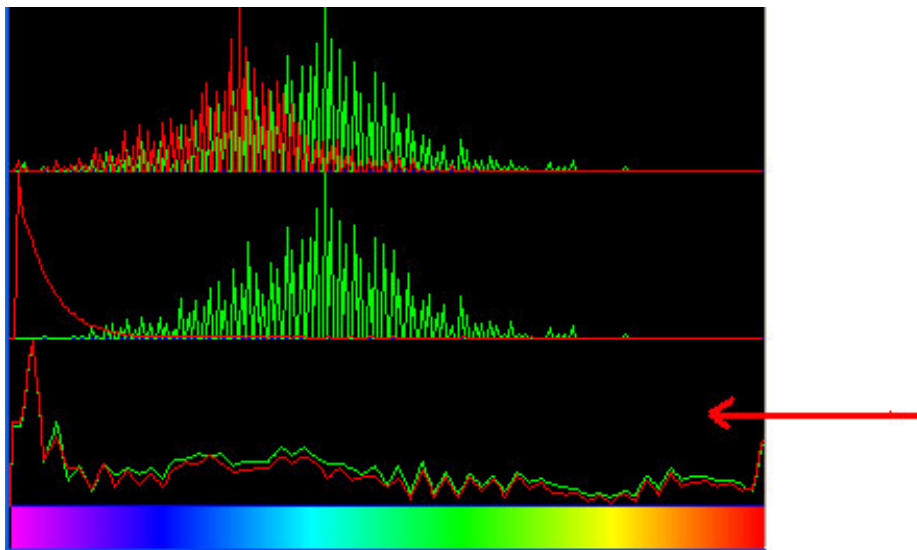
Color (Colore)	Range in related units
Purple ( <i>viola</i> )	0 - 30
Deep Blue ( <i>blu</i> )	30 - 80
Light Blue ( <i>azzurro</i> )	80 - 120
Green ( <i>verde</i> )	120 - 180
Yellow ( <i>giallo</i> )	180 - 220
Red ( <i>rosso</i> )	220 - 255



Scala calibrata dopo EEG

Durante i test la proiezione delle vibrazioni intorno ai corpi è dinamica e subisce variazioni. Le variazioni di intensità (ampiezza) vengono rappresentate con una estensione delle righe in orizzontale verso l'esterno. Le variazioni di frequenza delle vibrazioni attraverso la modificazione dei colori dello spettro seguendo la scala pseudo-colorata di cui sopra.

Nei grafici sottostanti viene rappresentata in verde la curva spettrale nel dominio delle frequenze ed in rosso l'ampiezza. In una finestra associata alla frequenza si mostra anche la derivata dello spettro. Entrambi i grafici scorrono in real-time durante l'esperimento. Sotto un esempio delle curve spettrali visualizzate.



Per quanto riguarda la calibrazione su altri elementi in natura che non siano persone o animali, stiamo cercando di eseguire delle calibrazioni specifiche, ad esempio sugli alimenti, misurandone lo stress. Al momento, la calibrazione approssimata più corretta dopo diverse centinaia di test è la seguente.



Indice di stress in percentuale sugli alimenti.

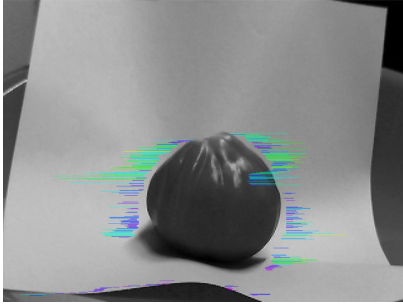
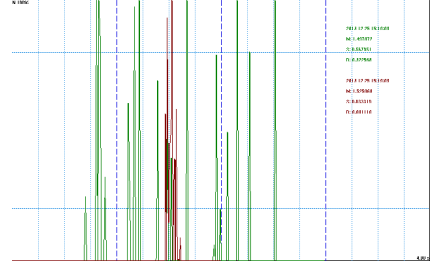
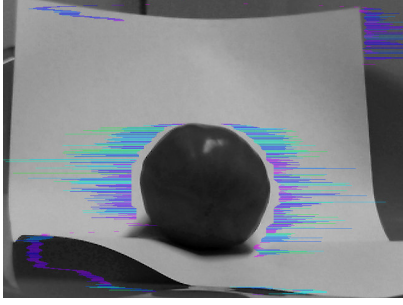
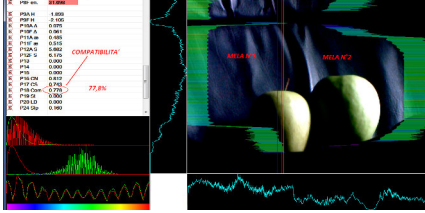
## DISPOSITIVO PER RILEVI VIBRAZIONALI

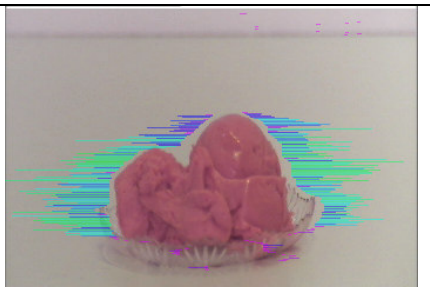
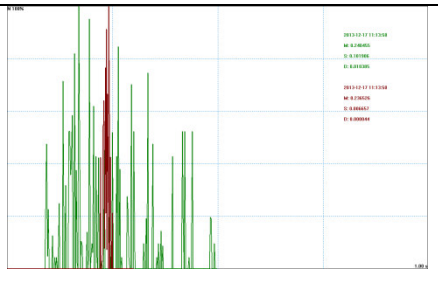
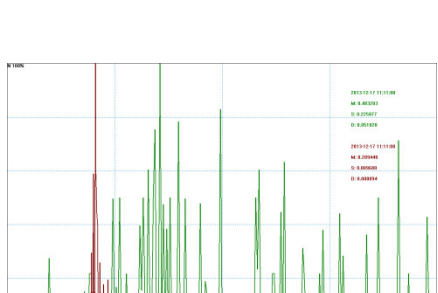
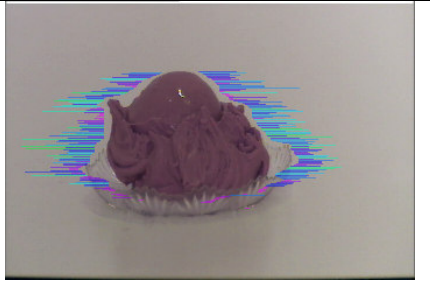
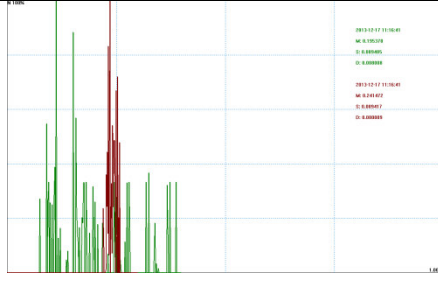
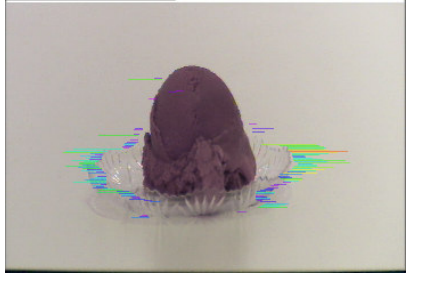
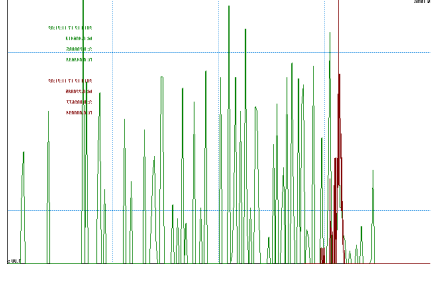


SISTEMA DI RILEVI VIBRAZIONALI CON TELECAMERA TRV

# ANALISI DI PREPARATI CON PRODOTTI INDUSTRIALI E ARTIGIANALI O CONTAMINATI

Test eseguito su ortaggi – verdura - frutta - gelati – vini – carne - OGM. Differenza tra industriali\artigianali

<p>Test 1</p> <p><b>Pomodoro di tipo industriale</b></p>	 <p>STRESS 25% 50% 75%</p> <p>0% MI/ΔMI Scale 100%</p>	
<p>Test 2</p> <p><b>Pomodoro biologico</b></p>	 <p>STRESS 25% 50% 75%</p> <p>0% MI/ΔMI Scale 100%</p>	
<p>Test 3</p> <p>Compatibilità tra due mele nostrane per valutarne la qualità.</p>	 <p>STRESS 25% 50% 75%</p> <p>0% MI/ΔMI Scale 100%</p>	<p>Stessa filiera ma con qualità differenti. Indice di compatibilità pari al 77.8%.</p>

<p>Test 4</p> <p><b>Fragola artigianale –</b></p> <p>Preparato da circa 2 ore</p>	 <p>STRESS 25% 50% 75%</p> <p>0% MI/AMI Scale 100%</p>	
<p>Test 5</p> <p><b>Fragola industriale -</b></p> <p>Preparato da circa 2 ore</p>	 <p>STRESS 25% 50% 75%</p> <p>0% MI/AMI Scale 100%</p>	
<p>Test 6</p> <p><b>Cioccolato artigianale -</b></p> <p>Preparato da circa 2 ore</p>	 <p>STRESS 25% 50% 75%</p> <p>0% MI/AMI Scale 100%</p>	
<p>Test 7</p> <p><b>Cioccolato industriale –</b></p> <p>Preparato da circa 2 ore</p>	 <p>STRESS 25% 50% 75%</p> <p>0% MI/AMI Scale 100%</p>	

Test 7-6 Parametri su persona

Misurati in %

**SX - Nocciola industriale**

**DX – Nocciola artigianale**

Aggression (P7)	38,5
Stress (P6)	66,7
Tension/Anxiety (F5X)	39,9
Suspect (P19)	0,0
Balance (P16)	50,2
Charm (P17)	7,0
Energy (P8)	18,7
Self regulation (P18)	29,9
Inhibition (F6)	27,8
Neuroticism (F9)	27,4
<b>Industriale</b>	
Health (P21)	-0,057
Health' (P22)	0,397
ΣVi (P23)	27,381

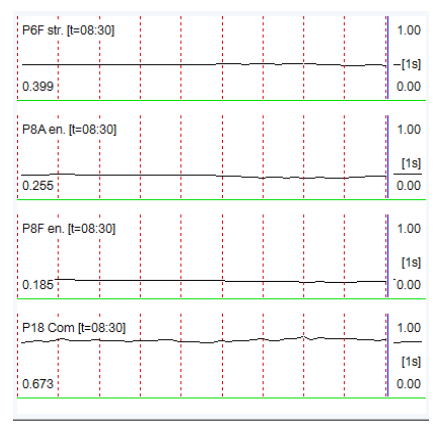
Aggression (P7)	43,3
Stress (P6)	50,9
Tension/Anxiety (F5X)	41,9
Suspect (P19)	0,0
Balance (P16)	56,3
Charm (P17)	25,4
Energy (P8)	16,5
Self regulation (P18)	41,2
Inhibition (F6)	26,7
Neuroticism (F9)	22,3
<b>Artigianale</b>	
Health (P21)	-0,085
Health' (P22)	-0,023
ΣVi (P23)	13,261

Test 8

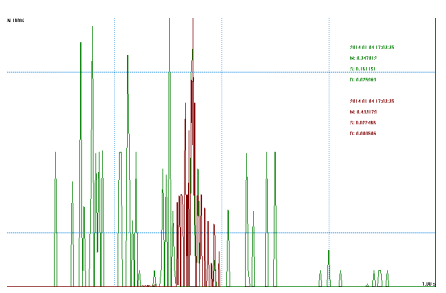
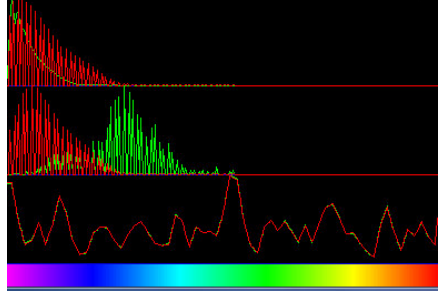
Compatibilità con persona

con **vino lambrusco** tipo industriale. 67,3%

Tensione\Stress 52.7%



P5 lie	0.000
P7A ang.	42.298
P7F ang.	29.861
P6A str.	38.546
P6F str.	39.861
F5 tens.	52.796
P8A en.	25.509
P8F en.	18.530
P9A H	-1.844
P9F H	-2.095
P10A Δ	0.079
P10F Δ	0.062
P11A æ	0.581
P11F æ	0.556
P12A S	6.056
P12F S	6.612
P13	0.000



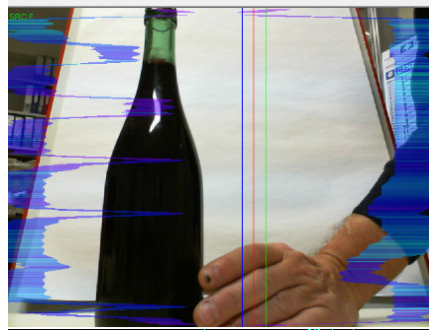
Test 9

Compatibilità con persona

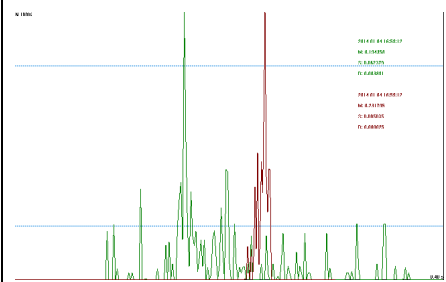
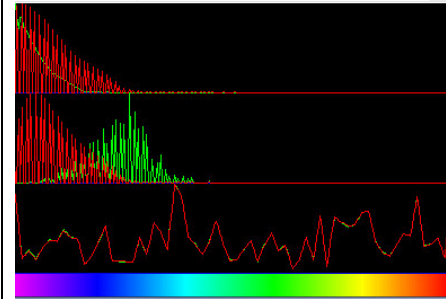
con **vino lambrusco** tipo

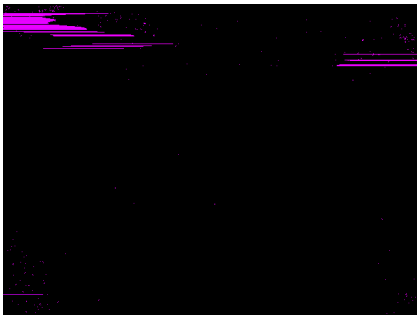
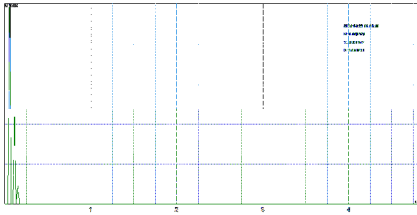
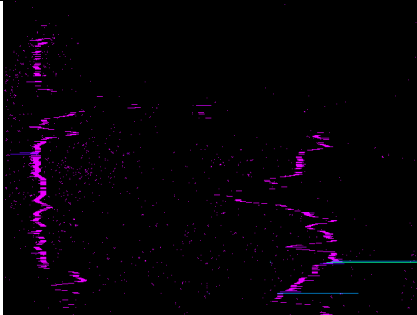
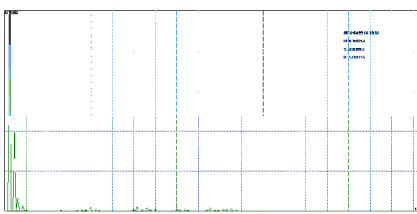
artigianale. 78,2%

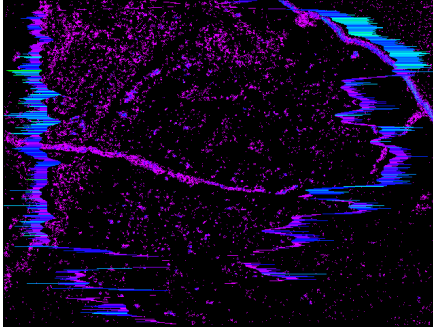
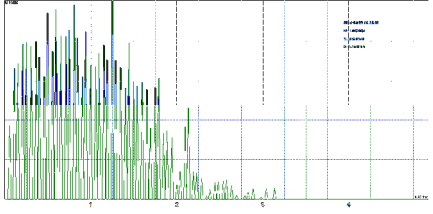
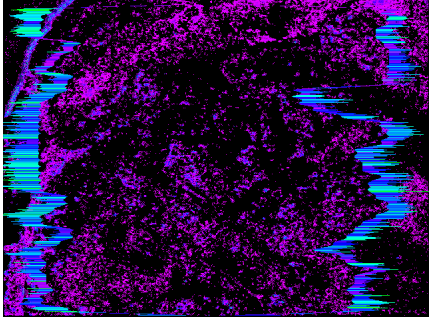
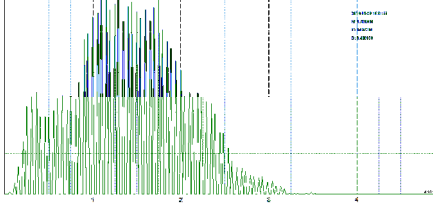
Tensione\Stress 47.6%

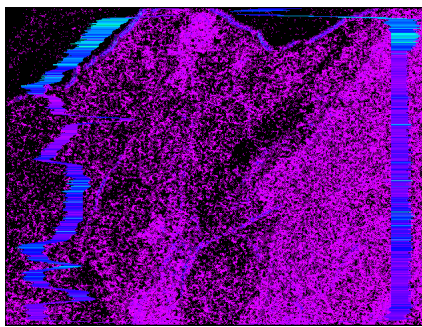
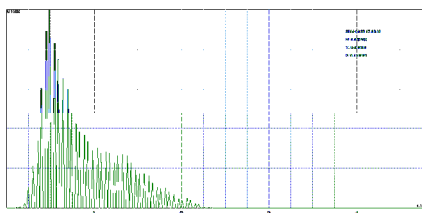
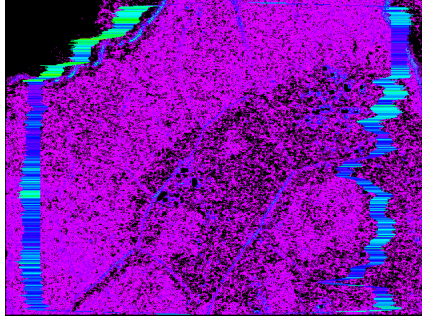
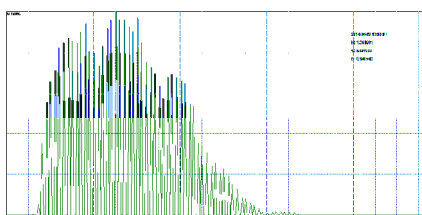


P4	1.069	0.000	0.000	0.000	0.000
P5 lie	0.000				
P7A ang.	35.065				
P7F ang.	26.241				
P6A str.	30.112				
P6F str.	30.273				
F5 tens.	47.607				
P8A en.	24.448				
P8F en.	18.808				
P9A H	-2.001				
P9F H	-2.329				
P10A Δ	0.068				
P10F Δ	0.049				
P11A æ	0.612				
P11F æ	0.578				
P12A S	5.792				
P12F S	6.688				
P13	0.000				



Test 10		
<p>Energia vibrazionale del</p> <p><b>Latte non contaminato</b></p> <p>(test privati eseguiti con la</p> <p>Dott.ssa Alessandra Govoni</p> <p>dell'Istituto Zooprofilattico</p> <p>di Bologna)</p>	 	<p>Aggression (P7) 1,8      0,304</p> <p>Stress (P6) 12,5      15,986</p> <p>Tension/Anxiety (F5X) 45,5</p> <p>Suspect (P19) 20,5      4,103</p> <p>Balance (P16) 81,5      10,607</p> <p>Charm (P17) 0,0      0,000</p> <p>Energy (P8) 0,9      0,142</p> <p>Self regulation (P18) 40,8</p> <p>Inhibition (F6) 74,0      3,328</p> <p>Neuroticism (F9)      33,3</p> <p>Health (P21) 0,366</p> <p>Health' (P22) 0,417</p> <p>ΣVi (P23) 24,957</p> <p>Extraversion (P26)      1,000</p> <p>Stability (P27) 0,980</p>
<p>Energia vibrazionale del</p> <p><b>Latte dopo contaminazione</b></p> <p>(test privati eseguiti con la</p> <p>Dott.ssa Alessandra Govoni</p> <p>dell'Istituto Zooprofilattico</p> <p>di Bologna)</p>	 	<p>Aggression (P7) 24,4      5,907</p> <p>Stress (P6) 19,3      2,548</p> <p>Tension/Anxiety (F5X) 41,2</p> <p>Suspect (P19) 28,3      3,432</p> <p>Balance (P16) 0,0      0,000</p> <p>Charm (P17) 0,0      0,000</p> <p>Energy (P8) -5,8      1,464</p> <p>Self regulation (P18) 0,0</p> <p>Inhibition (F6) 80,6      14,281</p> <p>Neuroticism (F9)      142,8</p> <p>Health (P21) -0,192</p> <p>Health' (P22) -0,332</p> <p>ΣVi (P23) 8,127</p> <p>Extraversion (P26)      0,473</p> <p>Stability (P27) 0,914</p>

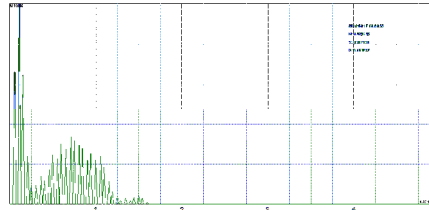
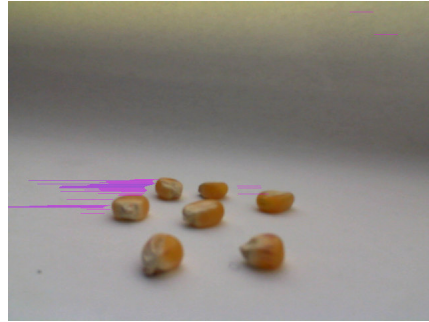
<p>Test 11</p> <p>Energia vibrazionale della</p> <p><b>Carne non contaminata</b></p> <p>(test privati eseguiti con la</p> <p>Dott.ssa Alessandra Govoni</p> <p>dell'Istituto Zooprofilattico</p> <p>di Bologna)</p>	 	<p>Aggression (P7) 33,7      3,812  Stress (P6) 47,9      0,717  Tension/Anxiety (F5X) 42,9  Suspect (P19) 41,4      0,664  Balance (P16) 65,6      2,622  Charm (P17) 49,2      1,680  Energy (P8) 8,8      0,475  Self regulation (P18) 57,4  Inhibition (F6) 73,5      3,271  Neuroticism (F9) 32,7</p> <p>Health (P21) -0,128  Health' (P22) -0,224  Σvi (P23) 6,262</p> <p>Extraversion (P26) 0,472  Stability (P27) 0,735</p>
<p>Energia vibrazionale della</p> <p><b>Carne dopo contaminazione</b></p> <p>(test privati eseguiti con la</p> <p>Dott.ssa Alessandra Govoni</p> <p>dell'Istituto Zooprofilattico</p> <p>di Bologna)</p>	 	<p>Aggression (P7) 40,0      2,151  Stress (P6) 35,3      0,809  Tension/Anxiety (F5X) 44,1  Suspect (P19) 39,8      0,887  Balance (P16) 74,9      2,035  Charm (P17) 72,5      0,761  Energy (P8) 15,9      0,212  Self regulation (P18) 73,8  Inhibition (F6) 80,5      6,798  Neuroticism (F9) 68,0</p> <p>Health (P21) -0,166  Health' (P22) -0,296  Σvi (P23) 5,188</p> <p>Extraversion (P26) 0,454  Stability (P27) 0,641</p>

<p>Test 12</p> <p>Energia vibrazionale di</p> <p><b>Lattuga non contaminata</b></p> <p>(test privati eseguiti con la Dott.ssa Alessandra Govoni dell'Istituto Zooprofilattico di Bologna)</p>	 	<p>Aggression (P7) 23,6      0,613  Stress (P6) 24,7      0,315  Tension/Anxiety (F5X) 42,7  Suspect (P19) 30,1      0,877  Balance (P16) 40,7      2,626  Charm (P17) 84,3      0,442  Energy (P8) 8,6      0,166  Self regulation (P18) 62,5  Inhibition (F6) 85,8      10,338  Neuroticism (F9) 103,4</p> <p>Health (P21) -0,177  Health' (P22) -0,295  Σvi (P23) 7,351</p> <p>Extraversion (P26) 0,673  Stability (P27) 0,776</p>
<p>Energia vibrazionale della</p> <p><b>Lattuga dopo contaminazione</b></p> <p>(test privati eseguiti con la Dott.ssa Alessandra Govoni dell'Istituto Zooprofilattico di Bologna)</p>	 	<p>Aggression (P7) 35,6      2,397  Stress (P6) 29,2      0,306  Tension/Anxiety (F5X) 40,9  Suspect (P19) 35,2      0,997  Balance (P16) 71,2      1,867  Charm (P17) 82,4      0,323  Energy (P8) 15,8      0,144  Self regulation (P18) 76,7  Inhibition (F6) 77,5      4,791  Neuroticism (F9) 47,9</p> <p>Health (P21) -0,168  Health' (P22) -0,300  Σvi (P23) 5,551</p> <p>Extraversion (P26) 0,518  Stability (P27) 0,654</p>

Test 13

Energia vibrazionale di

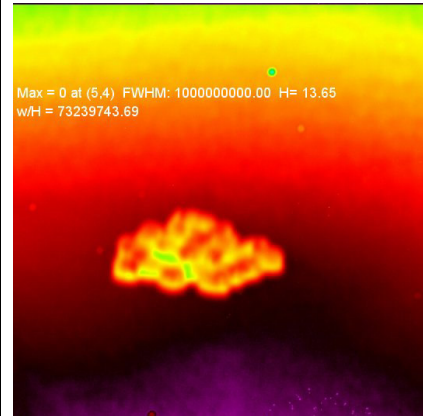
**Semi O.G.M.**



Aggression (P7)	16,7	0,594
Stress (P6)	29,7	1,384
Tension/Anxiety (F5X)	41,1	
Suspect (P19)	29,0	1,413
Balance (P16)	15,6	4,205
Charm (P17)	38,9	6,251
Energy (P8)	2,2	0,168
Self regulation (P18)		26,9
Inhibition (F6)	12,8	1,287
Neuroticism (F9)		12,9

Health (P21)	-0,132	
Health' (P22)	0,002	
ΣVi (P23)	12,677	

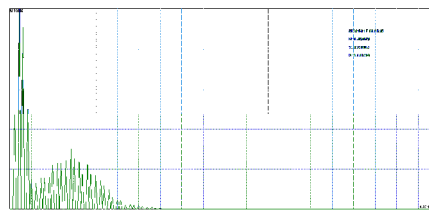
Extraversion (P26)	0,775	
Stability (P27)	0,877	



Fotografia multispettrale in campo ultravioletto 250\300\350 nm.

Energia vibrazionale di

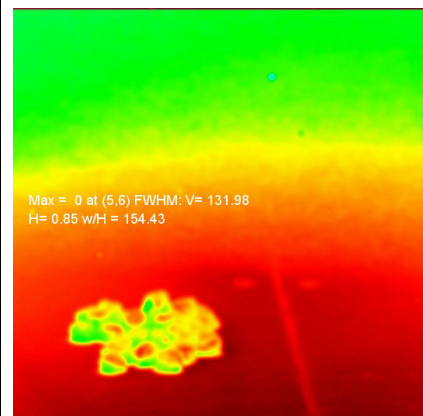
**Semi NON O.G.M.**



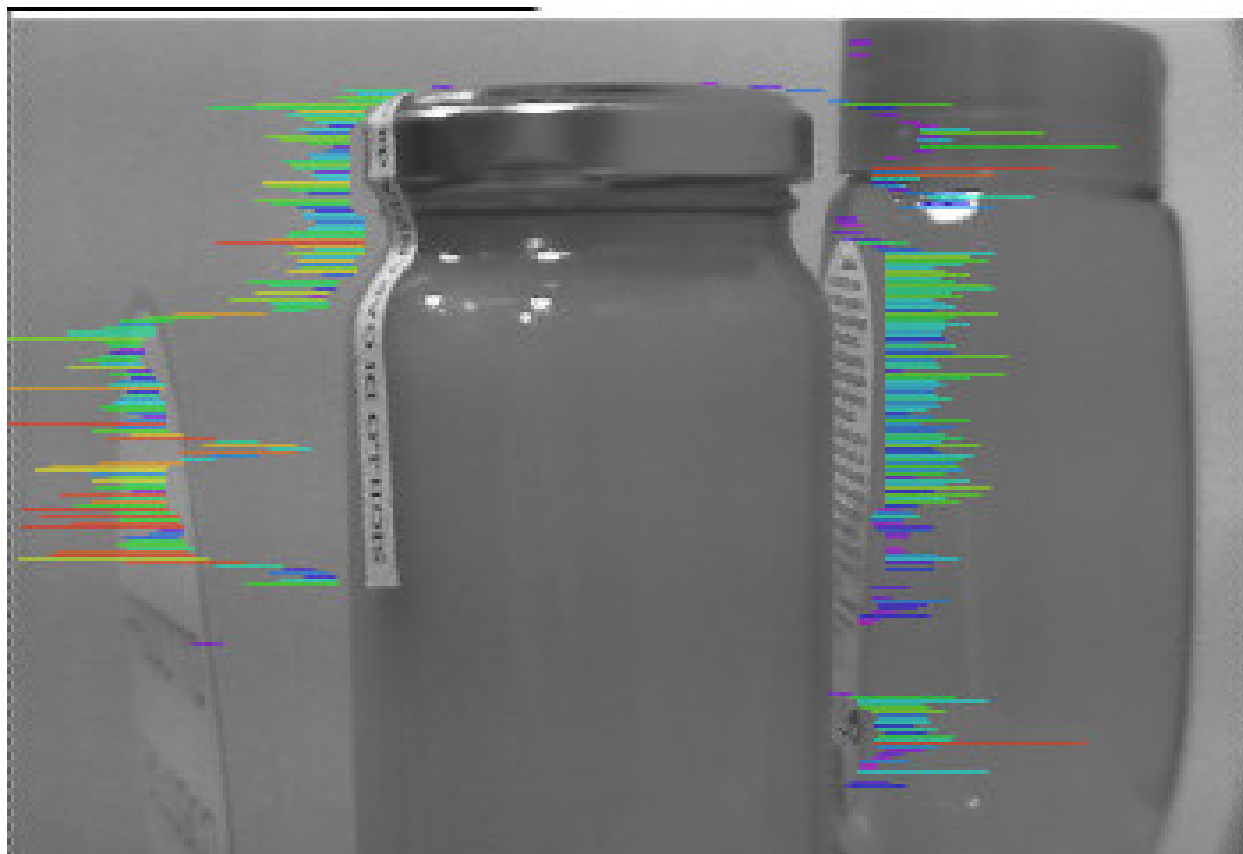
Aggression (P7)	16,7	0,504
Stress (P6)	27,8	0,791
Tension/Anxiety (F5X)	32,6	
Suspect (P19)	25,7	1,276
Balance (P16)	10,7	7,835
Charm (P17)	37,9	3,737
Energy (P8)	2,3	0,570
Self regulation (P18)		24,3
Inhibition (F6)	14,6	1,323
Neuroticism (F9)		13,2

Health (P21)	-0,071	
Health' (P22)	0,182	
ΣVi (P23)	17,362	

Extraversion (P26)	0,762	
Stability (P27)	0,867	



Fotografia multispettrale in campo ultravioletto 250\300\350 nm.



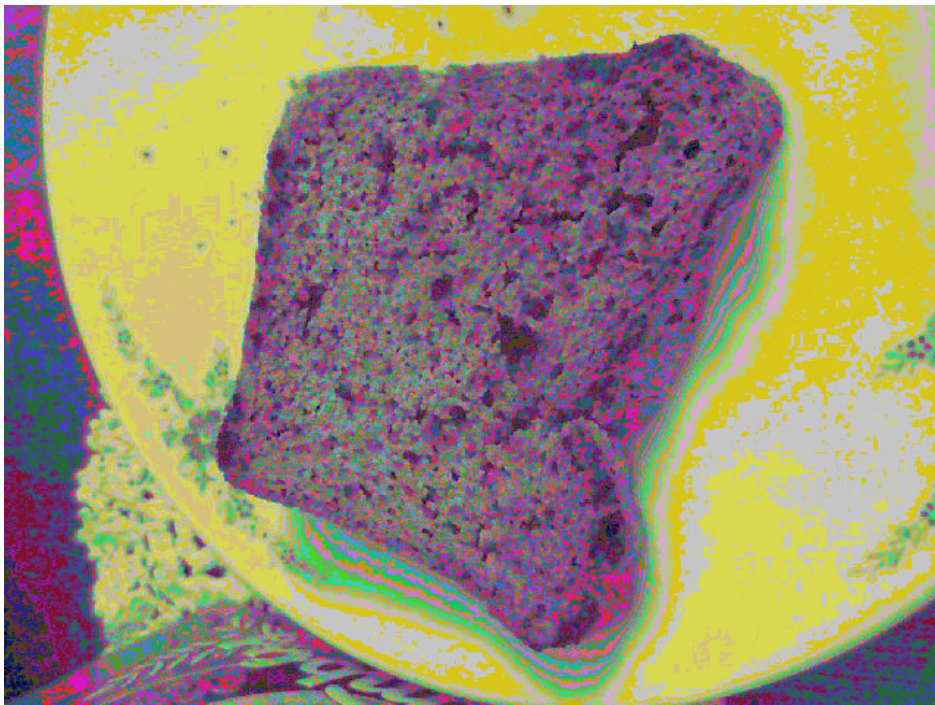
**CONFRONTO TRA UN BARATTOLO DI MIELE BIOLOGICO A SX ED UNO INDUSTRIALE A DESTRA.  
L'ENERGIA VIBRAZIONALE DEL "BIO" E' NETTAMENTE SUPERIORE!**

**DIMOSTRAZIONE "LIVE" ESPOSTA AL "SANA 2014" PAD. 34 – TOMMESANI ELETTRONICA°**

**PANE BIOLOGICO PER GLUTINOPATICI**



**ENERGIA VIBRAZIONALE ARMONICA E COERENTE CON TRV**

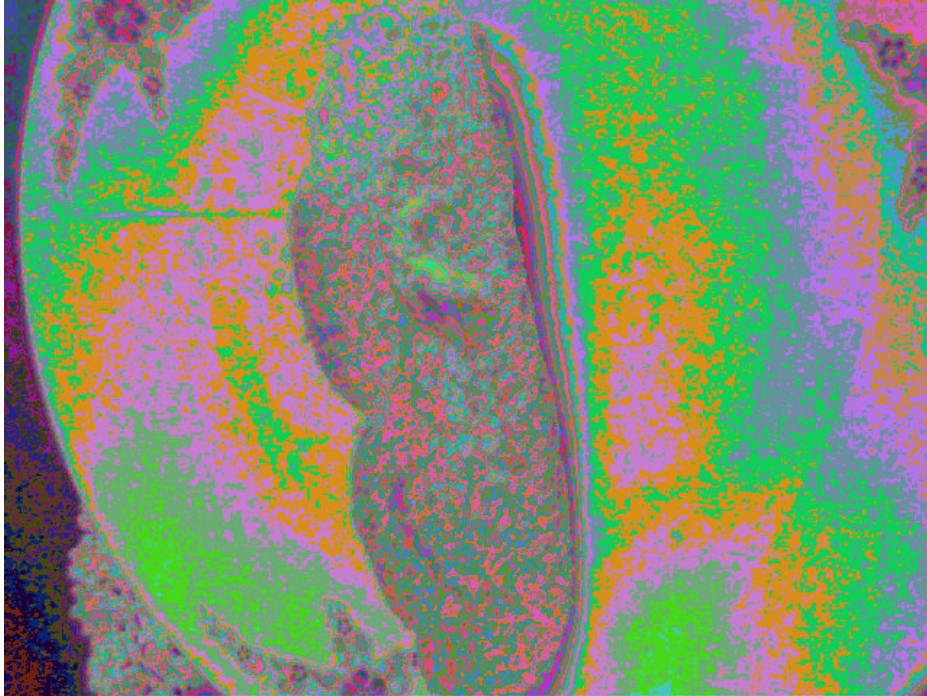


**CORONA DI LUCE "ORO" CON TECNOLOGIA P.I.P.**

**PANE TRADIZIONALE**

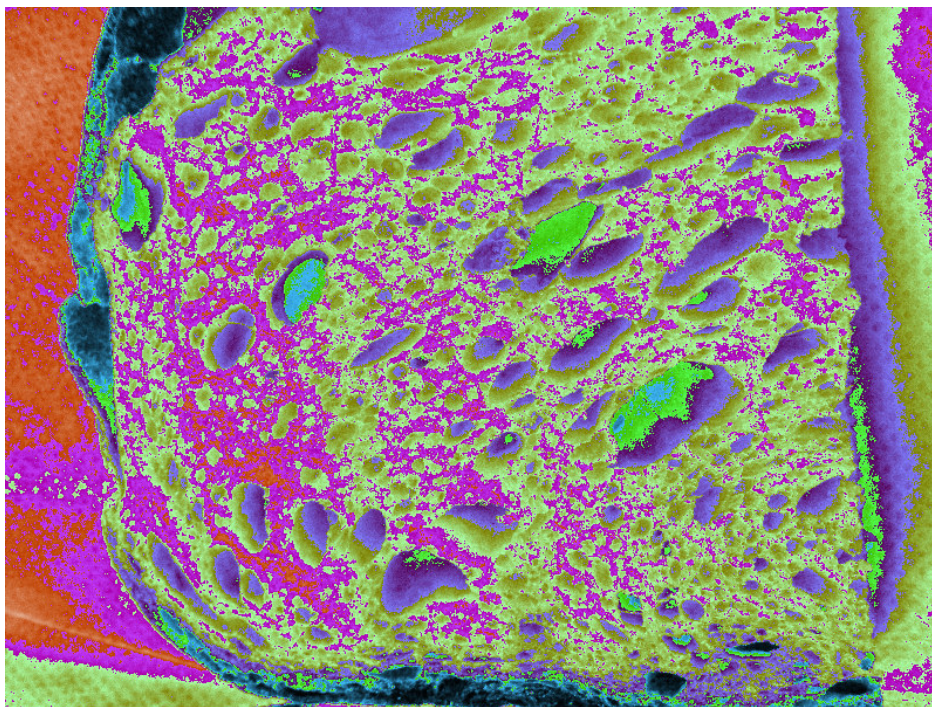


**VIBRAZIONE ABBASTANZA COERENTE MA CAMPO ENERGETICO DISGREGATO – FOTO TRV**

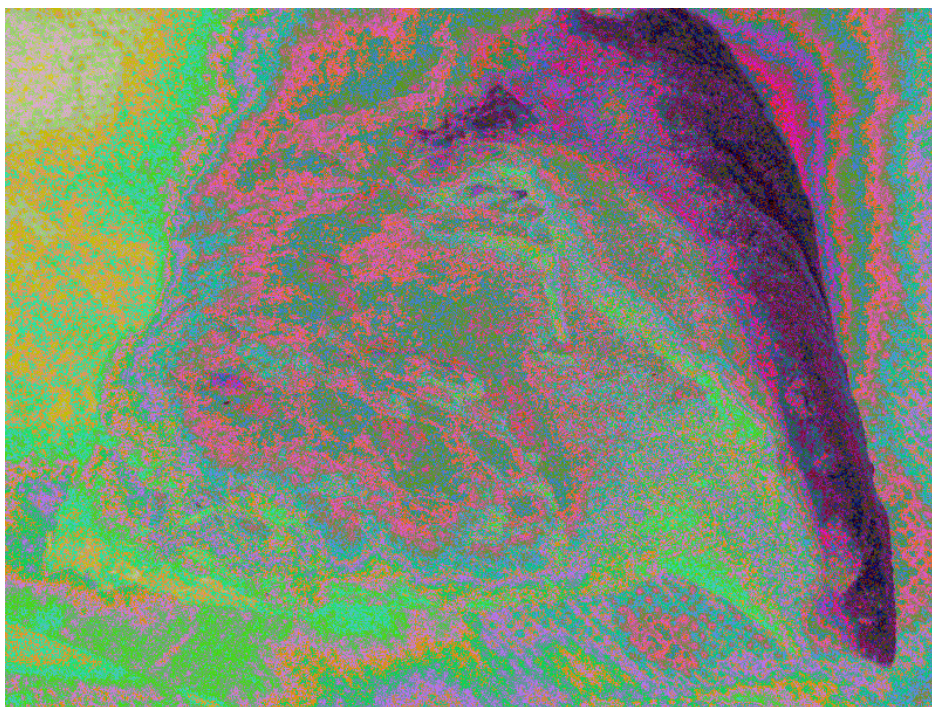


**L'ANALISI SPETTROFOTOMETRICA CON P.I.P. EVIDENZIA DIVERSE COMPONENTI CROMATICHE**

**ESEMPI DI ALTRI TIPI DI PANE ARTIGIANALE**



**SPECTROSCOPIC ANALYSIS CON P.I.P.**



**LO SPETTRO DI DISPERSIONE CROMATICA E' DIFFERENTE PER TIPOLOGIA DI PANE. NESSUNO DEI PANI TESTATI HA PRESENTATO UNA CORONA "ORO" O UNO SPETTRO VIBRAZIONALE COSI' COERENTE COME IL MODELLO DI PANE PER GLUTINOPATICI.**

## COMPATIBILITA' ENERGETICA



**PANE PER GLUTINOPATICI**



**PANE TRADIZIONALE**

**MISURANDO LA COMPATIBILITA' DEL PANE PER GLUTINOPATICI (IN ALTO) E DI QUELLO TRADIZIONALE (IN BASSO) IN PERSONA COMUNE, SI OSSERVA MAGGIORE COERENZA E COMPATIBILITA' ENERGETICA NELL'IMMAGINE SUPERIORE SE PURE IL SOGGETTO NON HA QUESTA TIPOLOGIA DI INTOLLERANZE.**

## OSSERVAZIONI PROVVISORIE

I dati *prodromici*, se così vogliamo definirli in questa fase preliminare di ricerca, mostrano senza alcun dubbio alcuno, che esiste una diversa “forma vibrazionale” di campo e di “firma spettrale” tra il prodotto industriale e quello artigianale.

E’ la prima volta che si osserva qualche forma di energia visualizzabile concretamente con gli strumenti tecnici utilizzati in tempo reale sugli alimenti.

Le informazioni raccolte e trattate secondo la scienza del “bioimaging” denotano variazioni di energia di campo che, dai primi dati raccolti, sembrano stabilizzarne le variabili di SD (standard Deviation) ovvero, sembrano aumentarne la coerenza, la coerenza del colore lo visualizza. In altre parole l’alimento artigianale sembra essere meno stressato rispetto a quello industriale (componenti azzurro\blu\viola) rispetto a quello industriale. La dispersione spettrale nei grafici mostra ancora più chiaramente il fenomeno che non l’immagine stessa. Il 95% dei preparati osservati, mostra una differenza netta.

I dati raccolti relativi alle misurazioni in campo vibrazionale grazie ad una tecnologia militare denominata TRV utilizzata insieme ad altra sensoristica nel progetto americano F.A.S.T.<sup>1</sup> mostrano una maggiore resilienza di una persona misurata per “compatibilità di risonanza energetica” con gli alimenti. L’indice di variabilità dell’immunità della salute migliora come pure la tensione e lo stress con gli alimenti artigianali, eccetto qualche sporadico caso.

I rilievi micro-vibrazionali sul soggetto hanno evidenziato stati psicofisiologici differenti che il sistema decodifica. Si è osservato che la risonanza armonica, per esempio, del gelato artigianale preparato al momento, “fresco” e appena fatto, migliora da subito le condizioni psicofisiche abbassando il gradiente di stress, di nervosismo ed inibitorio, migliorando i livelli energetici e lo “charm”, aumentando l’autostima della persona. L’indice di variabilità del sistema immunitario ne esce quasi sempre rafforzato dal confronto tra l’alimento industriale. L’alimento artigianale e soprattutto fresco ha valori energetici qualitativamente superiori.

Si è altromodo osservato che l’energia vibrazionale degli alimenti “sani” rispetto a quelli volutamente “contaminati” o “trattati”, OGM, presentano differenze di campo energetico visibili ed indagabili. E’ emerso che il parametro di stabilità in genere diminuisce dopo la contaminazione.

Esperienze con semi OGM fotografati nella lunghezza d’onda dell’ultravioletto<sup>2</sup> in modo multi spettrale, evidenzia una differenza cromatica dai semi naturali NON OGM.

Sicuramente sono dati sperimentali di grande rilievo calcolando che non è stata fatta un’analisi chimico-fisica ma solo una osservazione con una telecamera ed un particolare software di calcolo, tuttavia, visto che al momento i test sono stati eseguiti su un campione ancora abbastanza ristretto, attendono una conferma di tipo statistico su un numero più cospicuo di alimenti e soggetti da testare, per accertarne la ripetibilità.

Bologna li, 16 – Maggio 2014

Il Consulente Tecnico – C.T.A. Daniele Gullà

 C.T.U. Daniele Gullà  


<sup>1</sup> F.A.S.T. ( Future Attribute Screeninh Technology)

<sup>2</sup> Fotografie eseguite con fotocamera EUV “FUTURA” multispettrale per l’estremo ultravioletto a 250-200-350 nanometri.

## NOTE SULL'AUTORE

**Daniele Gullà was born in 1962 in Bologna where he is living and working.**

**Graduated as Electronic Engineer, he has been interested in Biopsychocibernetics since twenty years.**

**His passion for the Electronics, for the UV/IR Spectrography and for the Electroacoustics addressed him toward particular fields of the Psychic Research: the Paranormal Transimages and the Instrumental Transcommunication.**

**Currently he collaborates with experts of Courts of Justice and Italian Police for forensic analysis in Biometrics (audio and video).**

**In 2003 the Court of Justice of Cassino nominated him as Anthropometric Expert.**

**In 2004 the Courts of Justice of Bologna, Modena and Rimini nominated him as Phonic Expert.**

**In 2004 he attended a University Course of Criminology.**

**For several years he is performing phonic expertises relevant to speaker recognition for Italian Police, Courts of Justice and other Italian Public Offices.**

**In 2005 he collaborated with C.T.E. Consulting of Padua, with Bologna' City Council and A.N.A.S. of Bari for environment monitoring and decontamination of acoustic pollution.**

**He collaborates with the Bologna' University, Department of Biophysics, and with the A.I.M.N. (International Academy of Natural Medicine) as technical advisor in Biomedicine.**

**In 2006 he's member of N.S.I. (Special Nucleus Investigation) for phorensic analysis.**

**He has been lecturer at several International Congresses of Parapsychology and has published his articles on important magazines of the sector, as "Luce e Ombra", "Quaderni di Parapsicologia" and "Lettere e Scritti".**

**He has attended a two-year Course of Parapsychology for Researchers at the "Centro Studi Parapsicologici" of Bologna (C.S.P) becoming, from 1996 to 2001, a qualified researcher inside the CSP Research Department.**

**He often takes part of important telecasts of national and international nets (Rai 1 - Rai 2 - Rai 3 - TSI - SKY- Mediaset - Discovery Channel - Travel Channel) and for his research activity he is frequently object of articles published in national and foreign magazines.**

**Today his research activity is carried out inside "Il Laboratorio" – Interdisciplinary Laboratory for Biopsychocybernetics Research - as responsible of the Transimages Dept. and collaborates with the Transcommunication Dept. for a scientific investigation in ITC.**

**He is a teacher in a Biopsychocibernetics Course held at the 4th Department of Open University of Imola.**

**Since 2004 he is a member of the Scientific Committee of the "Institute for Consciousness Research" of Rome together to Umberto Di Grazia, the Criminologist Francesco Bruno and the Physicist Mario Bruschi of the University "La Sapienza", Rome.**

## **C.T.U. IN PENAL PROCESS**

- **Cassino Courte of Justice for anthropometry face analysis, Proc. Pen. N°205/00 in the 2003,**
- **Bologna Courte of Justice for Phorensic Voice Identification, Proc. Pen. N°53073/99 in the 2003,**
- **Rimini Courte of Justice for Phorensic Voice Identification, Proc. Pen. N°1995/2004 in the 2004,**
- **Cassino Courte of Justice for anthropometry face analysis, Proc. Pen. N°636/04 in the 2006,**
- **Auxliary in many Process with Geom. Giuseppe Mazzitelli, C.T.U. of the Court of Justice in Bologna and Prof. Gian Piero Benedetti C.T.U. of the Court of Justice in Bologna.**

## **PUBLICATIONS.**

1. **Daniele Gullà', "Photographic Mystery – Have We Photographed the Vital Energy?", Luce e Ombra, year 1995, October-December, n.4, pp. 449-463;**
2. **Daniele Gullà', "Testing the Voices Produced under Conscious and Mediumistic Altered State of Consciousness Using a Spectral Analyzer", Quaderni di Parapsicologia del C.S.P. di Bologna, vol. XXIX, October 1998, n.2, pp.73-87;**
3. **Daniele Gullà, "Paranormal Voices and Laboratory Analysis", L'uomo e il Mistero/8, aa.vv. Edizioni Mediterranee, Roma, 2000;**
4. **Daniele Gullà', "Ghostimages: un probleme pour la science", Parascience, n.4, Oct-November-December 2001;**
5. **Michele Dinicastro, Daniele Gullà', "The Paranormal Photography", letters and articles issued by Centro Studi Italiano di Parapsicologia, year IV, n.12, 1999;**
6. **Daniele Gullà', Giuseppe Lenzi, "Voices of Livings and Voices from Beyond: Researches Carried Out Using the Computer", "La Ricerca Psicica", year VII, n.2, pp.77-96, Proceedings of Congress held in Abano Terme, December 1999;**
7. **Daniele Gullà', "Proposal for a Methodological Research of Supposed Acoustic Paranormal Phonetic Events", Quaderni di Parapsicologia issued by C.S.P. - Bologna, vol. XXXII, Mar. 2001, n.1, pp. 68-76, Proceedings of Congress "Unusual Experiences called Parapsychological", held at Bari' University - Department of Bioethics - Oct. 2000;**
8. **Daniele Gullà', "Sonographic Analyses of a Coir Received by Anabela Cardoso", ITC Journal, n.6, June 2001;**
9. **Daniele Gullà', "Laboratory Analyses of Direct Voices Produced by Urbino Fontanelli' Mediumship", Luce e Ombra, year 101, n. 4, October-December 2001, pp. 386-409;**
10. **Daniele Gullà', "Paranormal Voices in Laboratory", Iride 2000, year 2nd, n.6, May 2001, pp. 21-25;**
11. **Enrico Marabini, Daniele Gullà, Michele Dinicastro "An Investigation in San Marino", Quaderni di Parapsicologia issued by C.S.P. - Bologna;**

**12. Daniele Gullà', "The BFS (Bio-Frequency-Spectrum): the Physical-Theoretical Analyses of Bio-systems and New Technologies for Bio-regulation", Proceedings of a Congress for physicians on Bio-spectrum Medicine, Verona 2000, "BIO-SPECTRUM MEDICINE", Ediz. ASP International, Rep. of San Marino, with co-operation of Bio-Medical Engineering Institute of Yunnan, Institute of High Energy Physics, Accademia Sinica, Cina.**

**LECTURES PRESENTED SINCE SEP. 2001 UP TODAY.**

**1. Daniele Gullà', Giuseppe Lenzi, "New Computerised Investigations on the Paranormal Voices", XV International Congress of the "Il Movimento della Speranza", Cattolica - September. 2001;**

**2. Daniele Gullà', "Two Cases of an Anthropometric Identification in Two Supposed Anomalous Photographs", Congress of the Association "Casa dell' Albero", October 2001, Carpi (MO);**

**3. Daniele Gullà', "Forensic Analyses in Parapsychology", XVI National Congress of "Il Movimento della Speranza", January 2002, Roma;**

**4. Daniele Gullà', Michele Dinicastro, "Ghost Project: the Paranormal Photograph", Congress of Atlantide Institute, January 2002, Firenze;**

**5. Daniele Gullà', "History of Two Cases of an Anthropometrical Identification in Two Supposed Anomalous Photographies", XI National Congress of ONLUS, January 2002, Modena.**

**6. Daniele Gullà', Michele Dinicastro, "Ghost Project", Congress of the Association GMD of Pisa, March 2002, Pisa;**

**7. Daniele Gullà', Paolo Presi, "Face Recognition and Experiences in Transcommunication" Congress of Association "Il Nespolo", March 2002, Tirrenia (Pisa);**

**8. Daniele Gullà', Michele Dinicastro, Elisabetta Piccini e Franco Predieri, "History of an Anomalous Photographic Event" meeting of Association GMD of Pisa, April 2002, Pisa;**

**9. Enrico Marabini, Michele Dinicastro, Daniele Gullà, Paolo Presi, Giorgio Gagliardi e Felice Masi, "Public Presentation of the "Il Laboratorio", Bozzano-De Boni Foundation, May 2002, Bologna;**

**10. Daniele Gullà', "An Emblematic Case of Face Recognition Based on a Supposed Anomalous Photograph", Congress of ONLUS, June 2002, Assisi.**

**11. Daniele Gullà, "Images and Voice Anomalous; Case of Pattern Recognition", session of University of Imola (BO), Gen. 2004.**

**12. Daniele Gullà, "Computer – Based Analysis of Supposed Paranormal Voice:**

**"The Question of Anomalies Detected and Speaker Identification", International**

**Congress of I.T.C., Vigo (Spain), 23-25 Apr. 2004.**

**13. Daniele Gullà, "Applying Biometrics in the Identification of Face that have been Photographed in an Anomalous Manner ( I.P.S.)", II° International Congress of I.T.C., Vigo (Spain), 27-30 Apr. 2006.**

**14. Daniele Gullà, "Voice Signal Enhancement: Processing and Post-Processing", II° International Congress of I.T.C., Vigo (Spain), 27-30 Apr. 2006.**